

開水路流れの円柱後流に関する実験的研究(3)

京都大学防災研究所 正員今本博健
 熊谷組(株) 正員○藤田徹
 京都大学大学院 学生員日紫喜剛啓

著者らは、開水路流れの円柱後流における水理特性の解明を目的として、離脱渦、平均および乱れ速度場の特性を中心に種々の検討を行なってきたが^{1),2)}、本報告においてはこれらについてさらに詳細な検討を加えるとともに、欠損乱れ速度、レイノルズ応力分布および底面せん断力分布についての検討が加えられていく。なお速度計測には2成分X型ホットフィルム流速計を用い、またせん断力計測にはフラッシュ・マウンティングプローブを用いており、実験水路の幅B=40cm、円柱径D=1cmである。

1. 平均速度および乱れ速度の分布特性

路床勾配を水平とし、流量Q=4.0 l/sec、水深H=5.0 cmとした場合の計測結果について検討する。円柱後流域の最大欠損速度△U_{max}/U_∞(U_∞:接近流速)および半値半幅b_{1/2}/Dと流下距離x/Dとの関係を示すと、図-1および図-2のようであって、△U_{max}/U_∞はz/H=0.9の円柱の近い領域では-1/2乗に近い勾配で減少するが、円柱より離れるとその勾配は緩やかとなつていい。また、z/H=0.5および0.7と路床に近いほど値は小さく勾配も緩やかとなっており、b_{1/2}/Dとx/Dとの関係についても増加勾配に陥り同様な傾向がうかがえる。

図-3および図-4は円柱後流内の最大乱れ速度U_{Turb}/U_∞およびU_{Turb}/U_∞の流下方向分布を示したものであつて、多くの小さな領域ではいずれについてもほぼ-1/2乗で減少し、約≈10²を越えると接近流の乱れ速度の値と同じ値に近づく傾向がみられる。

2. レイノルズ応力の分布特性

図-5はz/H=0.9および0.5におけるレイノルズ応力- $\overline{uv}/(\Delta U_{max})^2$ の横断分布を示したものであつて、図中に本2次元後流についてReichardtの式、すなわち

$$-\overline{uv}/(\Delta U_{max})^2 = -\frac{C_1}{2C_2} \eta \exp \{-(\ln 2)\eta^2\} \quad (1)$$

が併示されていふ。ここでC₁およびC₂は実験定数で、それら0.34および1.44である。図より明らかのようにz/H=0.9での- $\overline{uv}/(\Delta U_{max})^2$ はX/Dの増加とともに若干減少し、Yのピク

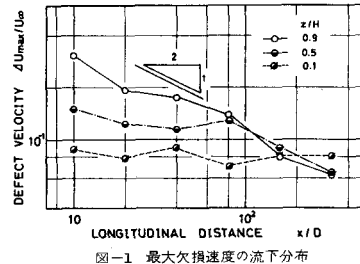


図-1 最大欠損速度の流下分布

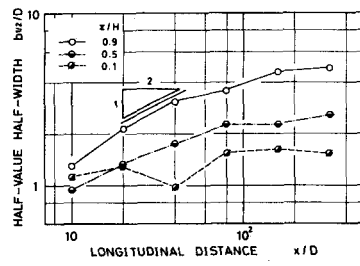


図-2 半値半幅の流下分布

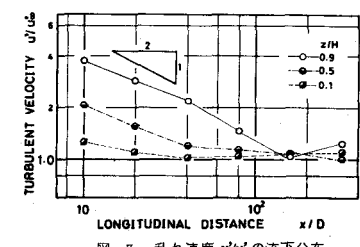


図-3 亂れ速度 U_Turb の流下分布

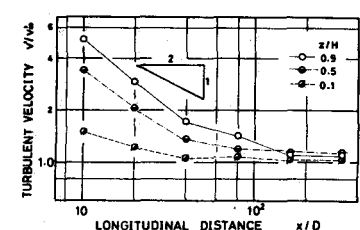


図-4 乱れ速度 U_Turb/V_∞ の流下分布

の位置を変化する傾向がみられるものの、(1)式と比較的良く一致するものに対し、 $\beta_H=0.5$ では、分布形は類似するものの計算値は(1)式に比しあり大きくなり、かつ x/D の増加とともに急速に減少している。このことは $\beta_H=0.5$ における u_{max} が2次元後流の場合に比し小さすぎることによるものと考えられるが詳細についてはさらに検討を要する。

3. 底面せん断力の分布特性

図-6は円柱直下流部における平均底面せん断力 $\bar{\tau}/\tau_\infty$ と x/D との関係を示したものであって、円柱に近いところでは $\bar{\tau}/\tau_\infty$ より大きな値をとり、 x/D の増加とともに減少し、 $x/D=40$ を越えると接近流の底面せん断力にはほぼ一致することが知れる。また、図-7は $\bar{\tau}/\tau_\infty$ の横断分布を示したものであって、円柱に近い領域での $\bar{\tau}/\tau_\infty$ は円柱直後方 $y/D=0$ で最大値をとり、横断方向に離れるにつれて減少している。また円柱から離れた領域では、 $y/D=0$ で最小値をとり、後流の速度分布に似た形状を示し、 $y/D=0$ における $\bar{\tau}/\tau_\infty$ は減少していくことが知れる。

以上のように、開水路円柱後流における平均速度場および乱れ速度場はかなり複雑な性状を示し、その特性を解明するにはさらに詳細な実験的検討が必要である。

図-7は円柱後流における平均速度分布を立体的に示したものであるが、この図で知れるように、円柱側面を通過する流体は半水深付近を中心へ輸送されるため速度欠損も小さくなると考えられる。しかしながら円柱近傍の水面付近では円柱から離脱する渦の流下・拡散機構は2次元後流に類似するため、欠損乱れ速度およびレイノルズ応力分布も2次元後流に近く、(1)式と比較的一致した特徴を示すものと考えられる。

また、底面せん断力は底面近傍の速度勾配の影響により円柱に近い領域で大きくなるものと理解されると、詳細については今後の課題とした。

- 参考文献 1)今本・藤田：開水路流れの円柱後流に関する実験的研究(1)，土木学会関西支部年講，1976
 2)今本・藤田・日暮喜：開水路流れの円柱後流に関する実験的研究(2)，土木学会関西支部年講，1977
 3)Rotta：Turbulente Strömungen，1972

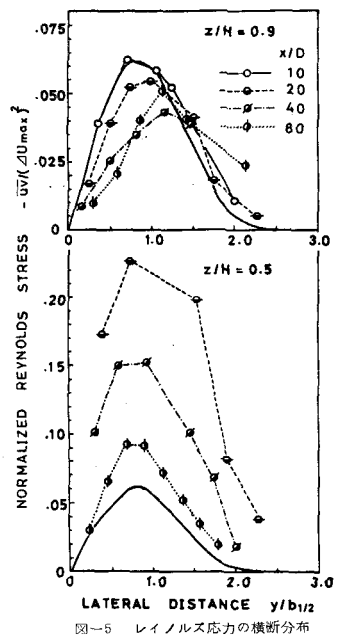


図-5 レイノルズ応力の横断分布

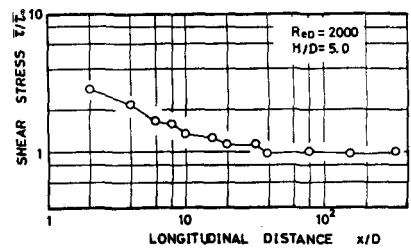


図-6 底面せん断力の流下分布

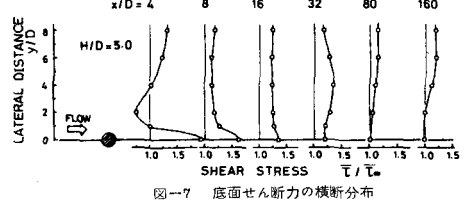


図-7 底面せん断力の横断分布

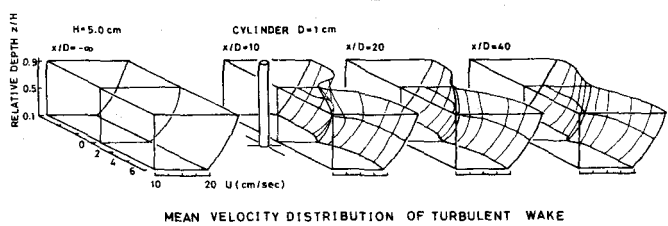


図-8 平均流速分布の立体図